

## ИССЛЕДОВАНИЕ ОРГАНИЗАЦИИ СИСТЕМЫ «ВХОД — ВЫХОД» ВЕНТРАЛЬНОГО ЗАДНЕГО ЛАТЕРАЛЬНОГО ЯДРА ТАЛАМУСА КОШКИ

Исследование строения и функции вентрального заднего латерального ядра таламуса (*VPL*) — основного релейного ядра соматосенсорной аfferентной системы — посвящено значительное количество морфологических и электрофизиологических исследований [5, 8, 12, 13, 18, 19].

Установленные в этих работах факты позволили сформулировать современные представления о процессах переработки и передачи кортикопетальных аfferентных импульсов, поступающих к нейронам ядра по спино-таламическим трактам, и механизмах возникновения альфа-подобной электрической активности [3, 5].

В то же время ряд вопросов, касающихся нейронной и функциональной организации *VPL*, окончательно не выяснен. Так, в частности, предметом дискуссии остается количественное соотношение таламокортикальных релейных нейронов и интернейронов ядра. Не установлено точно, сколько переключений, как правило, претерпевает в ядре поступивший в *VPL* аfferентный импульс. Нет четких представлений о количестве нейронов *VPL*, получающих моносинаптические входы со стороны медиальной петли.

**Методика.** Работа выполнена на взрослых кошках, наркотизированных тиопенталом натрия (40 мг/кг, внутрьбрюшно) и обездвиженных внутривенным введением *d*-тубокуарина (0,5 мг/кг) или миорелаксина (2 мг/кг). Ход и объем оперативных вмешательств, методика отведения потенциалов, определения области раздражения и зоны отведения, которые в каждом эксперименте верифицировали по гистологическим срезам мозга, описаны нами ранее [1, 2].

Нейроны *VPL* идентифицировали по характеру их ответов на электрическое раздражение волокон медиальной петли (*LM*) и первой зоны соматосенсорной коры (*SI*).

Для стимуляции *LM* использовали биполярный электрод с межэлектродным расстоянием 0,5 мм, изготовленный из никромовой проволоки диаметром 90 мкм, который вводили в точку с координатами  $F_r = -11,0$ ;  $L = +0,5$ ;  $H = -0,5$  [14]. В 12 опытах *LM* раздражали в двух точках, для чего второй электрод вводили на 10 мм ростральнее первого в точку с координатами:  $F_r = -1,0$ ;  $L = +3,0$ ;  $H = +2,5$  [14].

Точное расстояние между кончиками электродов, введенных в каудальные (*LM<sub>c</sub>*) и ростральные (*LM<sub>r</sub>*) отделы медиальной петли, измеряли на препаратах мозга. Эти данные использовали для определения времени, необходимого на проведение импульса к пейрону в каждом конкретном случае. При этом приходилось делать допущение, что первый импульс проходит с одинаковой скоростью весь участок пути от раздражающего электрода до синаптического окончания.

Время, затраченное на проведение возбуждения, вычитали затем из величины скрытого периода ответа нейрона. Полученная таким образом разность характеризовала время, необходимое для передачи возбуждения в ядре, что позволяло выделить моно- и полисинаптические реакции.

Электроды для раздражения *SI* имели вид коротких (до 2 мм) неизолированных иглок, расположенных в несколько рядов (межэлектродное расстояние — 1,5—2 мм), что давало возможность охватить раздражением всю посткруциатную область.

Для стимуляции *LM* и *SI* применяли одиночные толчки тока длительностью 0,2—0,3 мс, частотой 0,5—0,7/с, силой, в два-три раза превышающей пороговую для воспроизведения исследуемой реакции.

У восьми животных за 7—10 дней до острого опыта удаляли области *SI*, *MI*, *SII* коры головного мозга с целью вызвать дегенерацию кортикофугальных аксонов и, таким образом, исключить влияние пейронов неокортекса на процессы, происходящие в *VPL*. У этих животных во время острого опыта осуществляли стимуляцию волокон белого вещества, проецирующихся в область *SI*.

**Результаты.** В опыте на стимуляцию *LM<sub>c</sub>* антидепрессант *LM<sub>c</sub>* действует, что аксоны поступают к ядру.

У 152 нервных клеток, имеющих ортодромные рефлексы на стимуляцию *LM<sub>c</sub>* ортодромно не реагируют. Первичное ортодромное рефлекса (вследствие блокады волокон, реагирующих на стимуляцию *LM<sub>c</sub>* в ядре)

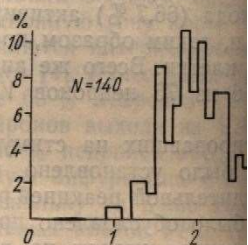


Рис. 1. Распределение латентных периодов раздражения.

Рис. 2. Корреляционное поле ответов нейронов *VPL* в зависимости от задержки, обусловленной раздражением. Кружки — нейроны выхода из *VPL*; линия — условная граница между нейронами, реагирующими на раздражение.

Латентные периоды раздражения в ответ на стимул *LM<sub>c</sub>* для каждого нейрона показывают, что в 92,2 % нервных клеток (рис. 1).

Использование в экспериментах волокон *LM<sub>c</sub>* и *LM<sub>r</sub>* для проведения аfferентных раздражений на этом основании вычисляет по волокнам медиальной группы 117,5 м/с.

Разность между латентными периодами раздражения, необходимыми для возникновения раздражения в нервной клетке, устанавливается до 2,6 мс.

Если принять, что для возникновения раздражения в нервной клетке требуется время нарастания потенциала 1,0 мс [3], то время на последующее возбуждение 0,8—1,4 мс.

На корреляционном поле раздражения в *VPL* отсутствует задержка возбуждения к нейрону в зависимости от потенциала (рис. 2), в течение 1,6 мс (удвоенно-



## СИСТЕМЫ О ЗАДНЕГО СА КОШКИ

ального заднего латерального ядра соматосенсорной значительное количество исследований [5, 8, 12],

илили сформулировать аботки и передачи корающих к нейронам ядра возникновения аль-

и нейронной и функциональной. Так, в частности, соотношение таламонов ядра. Не установив, претерпевает в ядре четких представлений синаптические входы со

аркотизированных тиопентальных внутривенным введением д-од и объем оправивших вм- области раздражения и зоны ли по гистологическим срезам

тветов на электрическое раздражение соматосенсорной коры (SI). Трой с межэлектродным расстоянием 90 мкм, который = 0,5 [14]. В 12 опытах LM одили на 10 мм ростральное + 2,5 [14].

денных в каудальные ( $LM_c$ ) или на препаратах мозга. Это могло на проведение импульса дилось делать допущение, что участок пути от раздражаю-

ычили затем из величины азом разность характеризовала что позволяло выделить моно-

(до 2 мм) неизолированных чное расстояние — 1,5—2 мм), крутишую область. Чки тока длительностью 0,2—ующей пороговую для воспроиз-

вудали областей SI, MI, SII тикофугальных аксонов и, та- на процессы, происходящие в ствляли стимуляцию волокон

**Результаты.** В опытах с интактной областью SI способность реагировать на стимуляцию волокон  $LM_c$  исследована у 171 нейрона VPL.

Обнаружено три нейрона VPL (1,7 %), которые реагировали на стимуляцию  $LM_c$  антидромным потенциалом действия. Этот факт свидетельствует, что аксоны данных нейронов в составе медиальной петли поступают к нижележащим образованиям соматосенсорной системы.

У 152 первых клеток (88,9 %) в ответ на раздражение  $LM_c$  возникали ортодромные реакции. Остальные 19 нейронов на стимуляцию  $LM_c$  ортодромно не реагировали.

Первичное ортодромное возбуждение нейронов VPL (88,3 % исследованных клеток) выражалось одиночным потенциалом действия.

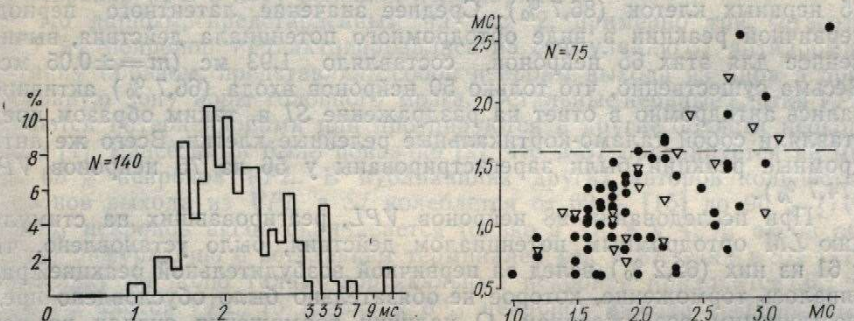


Рис. 1. Распределение латентных периодов ортодромных реакций нейронов VPL на раздражение волокон медиальной петли.

Рис. 2. Корреляционное поле, отражающее зависимость между латентными периодами ответов нейронов VPL на раздражение волокон медиальной петли (горизонталь) и задержкой, обусловленной передачей возбуждения внутри ядра (вертикаль). Кружки — нейроны выхода из VPL в SI; треугольники — предполагаемые интернейроны. Пунктирная линия — условная граница между моносинаптическими и диссинаптическими реакциями. N — общее количество нейронов, реакции которых представлены на корреляционном поле.

Латентные периоды пиковых потенциалов нейронов VPL, возникавшие в ответ на стимуляцию  $LM_c$ , колебались в диапазоне 0,9—10,0 мс. Гистограмма распределения, построенная по минимальным для каждого нейрона значениям латентных периодов этих реакций, показывает, что в первые 3 мс после нанесения стимула отвечало 92,2 % нервных клеток, реагировавших ортодромным возбуждением (рис. 1).

Использование в экспериментах двух раздражающих электродов, введенных в  $LM_c$  и  $LM_r$ , позволило определить время, необходимое для проведенияafferентного импульса к исследуемому нейрону и на этом основании вычислить скорость распространения возбуждения по волокнам медиальной петли, которая варьировалась от 13,2 до 117,5 м/с.

Разность между латентным периодом ответа каждого нейрона и временем, необходимым на проведение возбуждения от области  $LM_c$  до нервной клетки, у разных нейронов была неодинаковой (от 0,6 до 2,6 мс).

Если принять, что синаптическая задержка составляет 0,3—0,4 мс [7], а время нарастания ВПСП до уровня деполяризации, необходимого для возникновения потенциала действия, может достигать 0,6—1,0 мс [3], то время на проведение возбуждения через один синапс и последующее возбуждение нейрона должно определяться величиной 0,8—1,4 мс.

На корреляционном поле, отражающем зависимость между продолжительностью задержки, обусловленной процессами передачи возбуждения к нейрону внутри ядра, и латентным периодом пикового потенциала (рис. 2), видно, что большинство реакций с задержкой менее 1,6 мс (удвоенное минимальное время, необходимое для моно-

синаптического возбуждения исследуемого нейрона) имеет латентный период до 2,3 мс. Это позволяет считать, что нейроны *VPL*, ортодромно реагировавшие на раздражение *LM<sub>c</sub>* с таким или более коротким латентным периодом, возбуждались, как правило, моносинаптически и представляли нервные клетки, стоящие на входе в *VPL*. В то же время анализ корреляционного поля показывает, что к нейронам входа должны быть отнесены и некоторые нервные клетки *VPL*, у которых задержка, связанная с передачей возбуждения внутри ядра, меньше 1,6 мс, но латентный период достигает 3,0 мс за счет низкой скорости проведения возбуждения по афферентному волокну. Если теперь вновь обратиться к данным, представленным на рис. 2, то, на основе высказанных соображений, к нейронам входа в *VPL* следует отнести 65 из 75 нервных клеток (86,7%). Среднее значение латентного периода первичной реакции в виде ортодромного потенциала действия, вычисленное для этих 65 нейронов, составляло 1,93 мс ( $m = \pm 0,05$  мс). Весьма существенно, что только 50 нейронов входа (66,7%) активировались антидромно в ответ на раздражение *SI* и, таким образом, представляли собой таламо-кортикальные релейные клетки. Всего же антидромные реакции были зарегистрированы у 56 из 75 нейронов *VPL* (74,7%).

При исследовании 98 нейронов *VPL*, реагировавших на стимуляцию *LM* ортодромным потенциалом действия, было установлено, что у 61 из них (62,2%) вслед за первичной возбудительной реакцией развивалось торможение, которое не обязательно было обусловлено предшествующим возбуждением. О наличии торможения судили по развитию ТПСП или на основании угнетения ответоспособности нейрона при повторной стимуляции того же афферентного входа, либо по угнетению фоновой активности на постстимульной гистограмме, построенной «on line». У 13 из 17 нервных клеток (76,5%), исследованных в этой серии опытов методом внутриклеточного или квазивнутриклеточного отведения, зарегистрированы реакции типа ВПСП—пик—ТПСП. ТПСП имели латентный период 3,0—15,0 и длительность от 10 до 70 мс. У двух нейронов были зарегистрированы ТПСП при раздражении двух различных участков медиального лемниска и вычислены задержки, связанные с передачей возбуждения внутри ядра. Скрытые периоды ТПСП составляли 3,0 и 4,0 мс, а внутриядерная задержка соответственно 1,9 и 1,8 мс, что позволяло рассматривать эти ТПСП как дисинаптические.

При определении продолжительности торможения по ПСТ-гистограммам или методом парных стимулов установлено, что оно может быть более длительным и достигать 160 мс.

Удаление у подопытных животных за 7—10 дней до острого опыта области *SI* не вызывало существенных качественных изменений характера ортодромных реакций нейронов *VPL* на стимуляцию *LM* (всего в этой серии опытов была исследована активность 86 нервных клеток). Однако относительное количество нейронов, реагировавших первичным возбуждением, несколько увеличилось (на 5,9%). Еще более значительно (на 11,9%) возросло количество нейронов, у которых вслед за возбуждением развивалось торможение. При этом сократился процент нейронов, не отвечавших на раздражение *LM*.

**Обсуждение.** Анализ реакций нейронов *VPL* на стимуляцию волокон медиальной петли позволяет уточнить ряд особенностей нейронной организации этого релейного ядра.

В *VPL* обнаружено небольшое число нейронов (1,7%), посылающих свой аксон в направлении ядер дорсальных столбов спинного мозга. Наличие в *VPL* нейронов такого типа указывает на возможность влияния данного ядра на нижележащие структуры. Нервные клетки с нисходящим ходом аксона (9%) обнаружены Серковым и соавт. и в другом релейном ядре таламуса — медиальном коленчатом теле [4].

По данным, полученным в нашей работе, более четырех пятых

исследованных нейронов *VPL* ми клетками входа дуци нейронами в что позволило идеальные клетки. Нейроны передачи специализировались в кору головного мозга, как следует из тормозящих, та-

Особый интерес да нейронов *VPL* имеет.

По данным, в (74,7%) нейронов и, таким образом, экционную зону являются интернейрона [4]. Ранее на нее 63% нейронов нейронов выхода и у 48% нейронов активизирует бифуркацию. Поскольку на долю нервных клеток *VPL* импульс поступает самим ядром. Анализ *VPL* на раздражение переключений в большинстве. Афферентный тело, по данным Седова, выходит в слуховую систему синаптических передач. Минимальным числом является общим свойством.

Отношение количества нейронов, по данным на что близко к результатам ядра таламуса.

Практически одновременно с этим процессом торможение нейронов *VPL* в результате уже через 3 мс после

Торможение возникновения тормозящих в ядре таламуса. Результат передачу через релейное ядро путем воздействия [3, 9, 16, 17].

То обстоятельство, что торможение возникает в ядре таламуса, при этом в других ядрах таламуса, является еще одним доказательством того, что торможение в ядре таламуса [3, 6].

После удаления ядер таламуса, осталось на 11,9% активность торможения. Механизм запускается в результате тормозящих нейронов, активно

Физиол. журн., 1984, т. 30, № 6



йона) имеет латентный нейроны *VPL*, ортодромик или более коротким вило, моносинаптически ходе в *VPL*. В то же время, что к нейронам входа клетки *VPL*, у которых я внутри ядра, меньше за счет низкой скорости токну. Если теперь вновь 2, то, на основе выскаже *L* следует отнести 65 из латентного периода нциала действия, вычисл. 93 мс ( $m = \pm 0,05$  мс). выхода (66,7 %) активированы, таким образом, пределевые клетки. Всего же анти-56 из 75 нейронов *VPL*

гировавших на стимуляцию, было установлено, что длительной реакцией раздражения обусловлено предложение судили по разветвленности нейрона ного входа, либо по угловой гистограмме, построенной (76,5 %), исследованных ого или квазивнутриклетки типа ВПСП—пик—5,0 и длительность от 10 ваны ТПСП при раздражении лемниска и вычисления внутриядерная задержка рассматривать эти ТПСП

можения по ПСТ-гистограммам, установлено, что оно может

10 дней до острого опыта изменений *L* на стимуляцию *LM* активность 86 нейрона, реагировавших ось (на 5,9 %). Еще более нейронов, у которых *e*. При этом сократился *LM*.

*VPL* на стимуляцию волово-особенностей нейронной

нейронов (1,7 %), посыпанных столбов спинного *указывает на возможные структуры. Нервные* обнаружены Серковым и медиальном коленчатом

е, более четырех пятых

иол. журн., 1984, т. 30, № 6

исследованных нейронов *VPL* (86,7 %) активировались на раздражение волокон *LM* моносинаптически и, следовательно, являлись первыми клетками входа в ядро. Однако только 66,7 % нейронов ядра, будучи нейронами входа, реагировали на стимуляцию *SI* антидромно, что позволило идентифицировать их как таламо-кортикальные релейные клетки. Нейроны этого типа обеспечивают высокую надежность передачи специализированным релейным ядрам соматосенсорных сигналов в кору головного мозга. Остальные 20 % нейронов входа являются, как следует полагать, интернейронами, среди которых имеются как тормозящие, так и возбуждающие нервные клетки.

Особый интерес представляет функциональная организация выхода нейронов *VPL* в кору больших полушарий.

По данным, представленным на рис. 2, примерно три четверти (74,7 %) нейронов *VPL* активировались на стимуляцию *SI* антидромно и, таким образом, представляли собой нейроны выхода из ядра в проекционную зону коры головного мозга. Остальные нервные клетки *VPL* являются интернейронами или проецируются в другие области неокортика [4]. Ранее нами было показано [2], что в *SI* проецируется не менее 63 % нейронов *VPL*. В публикациях других авторов количество нейронов выхода из *VPL* в *SI* колеблется от 69 % [15] до 90 % [11]; у 48 % нейронов аксон оканчивается только в *SI*, а у 42 % аксон образует бифуркацию с ветвлением терминалей как в *SI*, так и в *SII* [11]. Поскольку на долю таламо-кортикальных нейронов приходится 66,7 % нервных клеток *VPL*, то только к 8 % нейронов выхода аfferентный импульс поступает после нескольких синаптических переключений в самом ядре. Анализ латентных периодов ортодромных ответов нейронов *VPL* на раздражение *LM* (рис. 1) показывает, что число таких переключений в большинстве случаев не превышает двух, максимум — трех. Аfferентный сигнал, поступивший в медиальное коленчатое тело, по данным Серкова и соавт. [4], также претерпевает в этом ядре до выхода в слуховую кору, как правило, одно, но не более двух-трех синаптических переключений. Передача аfferентных сигналов с минимальным числом синаптических переключений, по-видимому, является общим свойством таламических релейных ядер.

Отношение количества интернейронов к количеству релейных клеток, по данным наших исследований, составляет примерно 1:2 — 1:3, что близко к результатам, полученным при исследовании другого релейного ядра таламуса — латерального коленчатого тела [10].

Практически одновременно с возбуждением в нейронах *VPL* развивается процесс торможения, под воздействием которого вовлеченные нейроны *VPL* в реакцию на одиночное раздражение *LM* завершается уже через 3 мс после нанесения стимула (рис. 1).

Торможение возникает в результате включения в реакцию собственных тормозящих интернейронов *VPL* и нейронов ретикулярного ядра таламуса. Ретикулярное ядро, как было показано, тормозит передачу через релейные структуры таламуса непосредственно или путем воздействия на собственные тормозящие интернейроны ядра [1, 3, 9, 16, 17].

То обстоятельство, что при стимуляции волокон *LM* часть предполагаемых интернейронов активируется моносинаптически (рис. 2) и при этом в других нейронах ядра удается наблюдать дисинаптические ТПСП, является еще одним доказательством участия механизма постступательного аfferентного торможения в регуляции релейной функции таламуса [3, 6].

После удаления проекционной зоны неокортика количество нервных клеток *VPL*, отвечавших на стимуляцию *LM* торможением, увеличилось на 11,9 %. Это увеличение связано, вероятно, с блокированием торможения торможения. У животных с интактной корой такой механизм запускается кортикофугальными импульсами, поступающими к тормозящим нейронам *VPL* и ретикулярного ядра таламуса [9], угнетающим активность интернейронов, тормозящих релейные клетки.

INVESTIGATION OF THE «INPUT-OUTPUT» SYSTEM IN THE CAT  
THALAMIC VENTRAL POSTEROLATERAL NUCLEUS

Responses of 171 neurons of the thalamic ventral posterolateral nucleus (VPL) to the medial lemniscus (LM) and somatosensory cortex (SI) stimulation were studied in cats anesthetized with thiopental sodium and immobilized by myorelaxants. The conduction velocities in LM fibres ranged from 13.2 to 117.5 m/s. 86.7 % of neurons studied responded to LM stimulation monosynaptically and were located at the input to the nucleus; 66.7 % of neurons were identified as relay cells. 92.2 % of neurons were excited by LM stimulation orthodromically and responded with latencies that did not exceed 3 ms. An orthodromic excitation was followed by inhibition in 62.2 % of neurons. In experiments on animals with previously ablated somatosensory and motor cortical areas it was shown that the quantity of neurons inhibited by LM stimulation increased by 11.9 %. It was suggested that the lesion of corticothalamic pathways resulted in the partial blocking of disinhibitory mechanisms.

A. A. Bogomoletz Institute of Physiology,  
Academy of Sciences, Ukrainian SSR, Kiev

## Список литературы

1. Волошин М. Я. Нейронная организация и функциональные связи ретикулярного и вентрального переднего ядер таламуса: Автореф. дис. ... д-ра мед. наук. Киев, 1981.—43 с.
2. Волошин М. Я., Прокопенко В. Ф. Характеристика нисходящих влияний первой зоны соматосенсорной коры головного мозга кошки на нейроны вентрального заднелатерального ядра таламуса.—Физiol. журн., 1983, 29, № 6, с. 643—650.
3. Серков Ф. Н., Казаков В. Н. Нейрофизиология таламуса.—Кiev: Наук. думка, 1980.—260 с.
4. Серков Ф. Н., Яновский Е. Ш., Тальнов А. Н. Электрофизиологическое исследование проведения афферентных импульсов через медиальное коленчатое тело.—Нейрофизиология, 1979, 11, № 6, с. 516—523.
5. Andersen P., Eccles J. C., Sears T. A. The ventro-basal complex of the thalamus: types of cells, their responses and their functional organization.—J. Physiol., 1964, 174, N 3, p. 370—399.
6. Dubin M. W., Cleland B. G. Organization of visual inputs to interneurons of lateral geniculate nucleus of the cat.—J. Neurophysiol., 1977, 40, N 2, p. 410—427.
7. Eccles J. C. (Дж. Экклс). Физиология спиналов. М.: Мир, 1966.—395 с.
8. Jones E. G., Powell T. P. S. An electron microscopic study of the mode of termination of cortico-thalamic fibres within the sensory relay nuclei of the thalamus.—Proc. Roy. Soc. (B), 1969, 172, N 2, p. 173—185.
9. Frigyesi T. L., Schwartz R. Cortical control of the thalamic sensorimotor activities in the cat and squirrel monkey.—In: Cortico-thalamic projections and sensorimotor activities / Eds T. L. Frigyesi, E. Rinck, M. D. Yahr. New York: Raven press, 1972, p. 161—191.
10. Madaráz M., Gerle J., Hajdu F. et al. Quantitative histological studies on the lateral geniculate nucleus in the cat. III. Distribution of different types of neurons in the several layers of LGN.—J. Hirnforschung, 1978, 19, N 3, S. 193—201.
11. Manson J. The somatosensory cortical projection of single cells in the thalamus of the cat.—Brain Res., 1969, 12, N 2, p. 489—492.
12. Rainey W. T., Jones E. G. Spatial distribution of individual medial lemniscal axons in the thalamic ventrobasal complex on the cat.—Exp. Brain Res., 1983, 49, N 2, p. 229—246.
13. Ralston III H. J. The synaptic organization of lemniscal projections to the ventrobasal thalamus of the cat.—Brain Res., 1969, 14, N 1, p. 99—115.
14. Reinoso-Suarez F. Topographischer Hirnatlas der Katze für Experimental-Physiologische Untersuchungen.—Darmstadt: Werk, 1961.—75 S.
15. Rowe M. J., Sessle B. J. Somatic input to posterior thalamic neurones and their axon projection to the cerebral cortex in the cat.—J. Physiol., 1968, 196, N 1, p. 19—35.
16. Scheibel M. E., Scheibel A. B. The organization of the nucleus reticularis thalami: a Golgi study.—Brain Res., 1966, 1, N 1, p. 43—62.
17. Schlag J., Waszak M. Characteristics of unit responses in nucleus reticularis thalami.—Ibid., 1970, 21, N 2, p. 286—288.
18. Tsumoto T. Characteristics of the thalamic ventrobasal relay neurons as a function of conduction velocities of medial lemniscus fibers.—Exp. Brain Res. 1974, 21, N 2, p. 211—224.
19. Tsumoto T., Nakamura S. Inhibitory organization of thalamic ventrobasal neurons with different peripheral representation.—Ibid., p. 195—210.

Ин-т физиологии им. А. А. Богомольца  
АН УССР, Киев

Поступила 12.07.83

Физиол. журн., 1984, т. 30, № 6

УДК 612.826.5:612.822:612.014.42:612.0

В. И. Хоре

РЕАКЦИИ  
МЕДИАЛЬНОЙ  
НА

Известно, что релейные нейроны: длинноаксонных и короткоаксонных интеграторов таламуса. Если для критерии их идентификации вызывают возражения.

Известно также, что проекционного поля нейронов таламуса подвергаются изменениям затраты как интернейроны остаются.

Целью настоящей работы было изучение активности нейронов спустя 1 мес после удаления соответствия с терминалами, будем называть резинового полушария служили контрагенты.

**Методика.** Поскольку введеные не только дегенеративные корки, но и отсутствием корковых пах животных. В первую очередь проводили через 4 нед после удаления. Вторую группу составляли три раза 6—10 ч после удаления эти.

Удаление слуховой коры нейроны нембуталом (30 мг/кг внутримышечно) с ней участков слуховой, соматического вещества.

Исследование импульсной активности через 1 мес после удаления коркового покрова наркозом (35 мг/кг внутримышечно) бедра животных обездвиживание. Импульсную активность в окончания изучения в месте отведения нейронов осуществляли глубиной погружения микрозлементами.

**Результаты.** Фоновая импульсная активность была одиночно-пачечной, МКТ. Средняя частота импульсной активности (8 имп/с) нейронов определена, вероятно, на основе нейроны МКТ. Так, же распределение нейронов по разрядам сходно с аналогичными нейронами. В обоих случаях низких частот, а количество импульсов в сантиметре составляет соответственно 5 имп/с.

Полученные нами данные исследователей [15], которые вызывали относительное количество AI

Физиол. журн., 1984, т. 30, № 6